

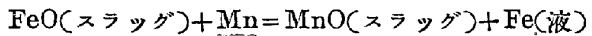
抄 錄

製 鋼

単純酸化物スラッグ下の平衡について

J. Chipman, J. B. Gero & J. B. Winkler. Journal of Metals. 188 (1950) 2, 341/345

FeO-MnO スラッグ下の Mn 平衡は古来, Körber & Oelsen 等若干の研究者によつて報告され, 鹽基性平爐に於ける浴の Mn と滓の鐵酸化物の反應平衡がほど完成されていることと結んで重要な反應の一つである。



$$K_{\text{Mn}} = (\text{MnO}) / (\text{FeO})t [\% \text{Mn}]$$

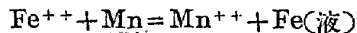
ここに Mn は溶鐵中の Mn, () はモル分率であるが, この系では活量に等しいとしてよい。(FeO) t は FeO のモル分率 + Fe_2O_3 のモル分率 × 2 である。 MgO 裏張の誘導爐に 65 ポンドのアームコ鐵を溶かし N_2 分圧氣中で實驗した。

$\log K_{\text{Mn}}$ 対 $1/T$ の關係はかつての Körber & Oelsen の結果と可成り異なつてゐる。最も新しいデータを組合せて上記平衡の熱力學計算を行つた。

$$\log K_{\text{Mn}}(\text{計}) = 6,440/T - 2.82$$

$$\Delta F^\circ(\text{計}) = -29,470 + 12.87T$$

これは實驗による $\log K_{\text{Mn}}$ (實驗) = $6,440/T - 2.95$ にほど近い。更にこの反應をイオン的に扱つた。



$$K_{\text{Mn}^{++}} = a_{\text{Mn}^{++}} / a_{\text{Fe}^{++}} \% \text{Mn}$$

この計算には Chipman & Chang の求めた, $\text{Fe}(\text{液}) + \text{O} = \text{Fe}^{++} + \text{O}^{--}$; $\log a_{\text{Fe}^{++}} \cdot a_{\text{O}^{--}} / \% \text{O} = 6,000/T - 2.57$ を用いて行い, $\log K_{\text{Mn}^{++}}(\text{計}) = 6,760/T - 2.98$, $\Delta F^\circ(\text{計}) = -30,920 + 13.63T$ を得た。これは實驗による $\log K_{\text{Mn}^{++}}(\text{實驗}) = 6,760/T - 3.09$ とよく一致している。更に酸素の分配率が Mn% の影響を受けないこと, 並びにそれを L_0 とすれば

$$\% \text{O} = L_0 / (1 + K_{\text{Mn}} [\% \text{Mn}])$$

となり, 淚に平衡する極大溶解酸素量が求められると述べ, %O 対 Mn 圖を各溫度について求めてゐる。

(松下 幸雄)

小型轉爐に於ける酸素及び水蒸氣を含む衝風による實驗 H. Kosmider, P. E. Hardt. Stahl und Eisen 1950 年 4 月 13 日 70 Heft 303~321

トーマス鋼は加工又は時効により脆性を示し, これは N_2 の量が多いいためと考えられ, また P の量もこれに關係する。著者等は Hüttenwerk Haspe A.-G. のトーマス製鋼所に於いて轉爐で製鋼した鋼の品質を改良する目的で廣汎な實驗を行つた。第一の實驗は種々の割合で酸素と水蒸氣を混合した衝風を用いた。この實驗は從來まで殆んど行わたることは無かつた。第二の實驗は炭素燃焼期には酸素のみの衝風を行い, 水蒸氣は燒の燃焼の直前にだけ酸素に混合した。第三の實驗では水蒸氣を用いず, 酸素 35, 55 又は 92% の衝風を用いて製鋼を行つた。

この結果によると, 92% 酸素 1~2.5 容と水蒸氣 1 容の割合で含む混合衝風によりトーマス銑を吹くと, 窒素 0.003~0.004% を含み, 衝撃値が脱焼の方法に従つて 8~12kg/cm² となるトーマス軟鋼を得る。もし混合衝風中の酸素と水蒸氣の比を増すか又は純度の低い酸素を用いるとき, 鋼の窒素含有量が増加する。

普通のトーマス鋼を酸素富化した衝風で吹いても窒素量の少ない鋼を得ることは出來なかつたが, この製鋼で熔かし得る屑鐵の量は衝風中の窒素量の減少に相當する熱量から計算した量よりも大きく, その差は酸素量が多い程大きかつた。銑鐵 1 單位当たり 500kg の屑鐵を熔かすことが出來た。

水蒸氣と酸素の混合衝風による鋼中の窒素含有量の減少はガス中の N_2 の分壓の低いためであることが確められた。ソーダ滓又は石灰ソーダ滓の下で精錬すると, 脱焼を強行しても銑鐵中の Fe の量は多くならない。銑の歩留は從來の方法より悪く, また爐底の侵蝕を防ぐには銑管をドロマイトで包んで好結果を得た。この實驗の委員長は, 平爐銑と同じ性質を有し, N_2 の少ないトーマス銑を製造するには從來の方法を捨て去り, O_2 及び他のガスの多量混合した衝風を使う方向に向わなければならぬだろうと述べている。

(牧野 昇)

鑄 造

Investment Casting に於て考慮すべき諸因子 R. L. Wood, D. V. Ludwig, Iron Age 166, (1950) (1), 88, 1950 166, (3) 92

Investment casting はこれまで 10 年位の間に從來不可

能視されていた幾つかの設計又は材料の問題を解決する有力な手段となつた。この方法は蠟型法又は精密鋳造とも云はれる、その製品の公差は、低融非鉄合金で0.002in鉄又は高融非鉄合金では0.005inである。この方法で鋳物をつくるには三行程の異なる型即ち母型、製品型及びInvestmentを必要とする。母型は銅、亜鉛合金又は軟合金(Pb, Sn, Bi, Sbなど)でつくられる。これは極めて正確であることが必要で、この設計にはあらゆる収縮因子を考慮に入れなければならぬ。廣く用いられるものにCerro-truと云はれるPb-Sn-Bi合金がある。次に製品型の材料としては種々の蠟化合物、ポリスチレン樹脂及び低融合金が用いられるが、蠟型が最も多い。水銀を用いる方法も實驗室的に行はれ、將來有望視されている。製品型の精度に影響を及ぼす諸因子としては、型を作る際の温度壓力、除去時間、冷却中の變形、清淨處理や框取りの時の歪、押湯などの附屬部分や型の方向などが考慮される。次にInvestmentとしてはそれぞれの鋳込み温度により異なるが、低融合金には石膏を粘結剤として石英、鱗珪石、珪砂などの混合の蠟型を用い、鐵及び高融合金には蠟型主體と金屬との間をdip coatによる被覆層を作り保護する。

鋳造合金の化學組成は製品の精度に影響大きく、組成は狭い範囲に限定される。Cu又はAl合金にPbを含むことは蠟型に望ましくなく、またこの鋳造方法は切削が殆んど無用なので切削性を改良すべくPbを添加することは無用である。炭素鋼は合金鋼に比較すると鋳造性悪く、かぶせ鋳造に對し最も適當な鐵合金は18-8不銹鋼である。熔解にはAl, Mg又はCu合金は通常ガス又は油加熱坩堝爐、鐵合金などの高融合金は炭素電弧爐が用いられる。かぶせ鋳造方法としては大體、壓力鋳造遠心鋳造、真空又は吸引鋳造、普通の靜的鋳造の四つの方法が用いられ、それぞれ特徴を有している。最後に製品の蠟型からの除去、鋳物の清淨處理及び整直作業、表面仕上げ、検査などに就き述べられているが、この方法は切削加工その他の仕上げ行程が簡単で経費が少くしかも精密なのが特徴である。

(牧野 畏)

性 質

過熱された鋼の粒界現象 T. Ko and D. Hanson, Iron and Steel, May 11, 1950 208~215

鋼の過熱現象はその鋼に固有な或一定温度を境として起り、過熱に依り結晶粘界に何等かの變化が生じ、その後の熱處理に依ても容易には恢復しないことが從來の研

究に依て知られている。著者等は過熱に伴う粒界の現象を研究した。その方法は豫めノツチを入れた試料をアルゴン氣流中で950°に豫熱し、次にその爐内の1300°内外の過熱帶に移し、再び950°の部分に移してから水焼入したものを破断し、破断面のオーステナイト粒界を直接顯微鏡で観察した。過熱温度に伴う粒界表面の變化は次の三段階から成る。

(1) 950°では粒界表面はきれいであるが、温度が上昇すると共に極めて微少な介在物が出現し次第に數と大きさを増す。高溫度から急冷すると析出介在物の數が減少する。これは析出が冷却中に行われることを示している。

(2) 或溫度以上になるとMnに富む硫化物の微細な介在物が多量に析出する。その大きさは第一段階と同じく0.5μ程度である。この段階に達すると試料を研磨して10%硝酸、10%硫酸水溶液でエッヂすると粒界が黒く侵され過熱組織を現す。

(3) 更に高溫に加熱されて固相線を越へ可謂Burningの状態になつたものはMn及びFeに富む硫化物が球状及び共晶状羊齒形に析出しているのが見られる。焼入焼戻した試料を磨いて2.5%硝酸アルコール液でエッヂすると粒界が白く残る。又硝酸アンモニウム液で電解エッヂすると過熱状態のときとは反対に粒界の網目が黒く侵される。即ちBurningした鋼では緻密な粒界に偏析している。

以上三段階の温度は次の如くである。

試料	第一段階	第二段階	第三段階
T (0.85% 炭素鋼)	1150 ~1300°	1300 ~1350°	1350° 以上
S (0.47% 炭素鋼)	1250 ~1350°	1350 ~1420°	1420° 以上
VB (Cr-Mo 鋼)	1300 ~1400°	1400 ~1430°	1430° 以上

その他著者等は高溫加熱に依る鋼の焼入状態に於ける機械的性質の變化を調べ、過熱温度域以下の高溫加熱によるオーステナイト粒成長に基因する韌性の低下は回復し得るが、過熱温度域に達したものは一回の焼準操作で回復せぬが過熱温度範囲を徐冷するか、過熱温度直下で長時間焼鈍すると粒界に析出した介在物が減少し、過熱の影響を除かれることを知つた。(芥川 武)

燒戻鋼の應力一伸び曲線に於ける所謂「歸り場」の機構に就いて C. Boulanger; Comptes Rendus, 230 (1950), 11, 1074~76

著者は前報告に於いて、鐵に含まれるC, N₂又はO₂が引張應力一伸び曲線の上に現われる鋭い降伏點、即ち

所謂「踊り場」の原因であり、時効がこれに關聯していることを示した。この報告は轉位論の立場から、この現象を解明したものである。焼戻鋼の場合も $\gamma \rightarrow \alpha$ 變態により生ずる體積變化の機械的効果とそれに伴い冷却過程中に起る時効を考えに入れると歪時効した鋼の一般的な場合と同じに論ぜられることを示している。

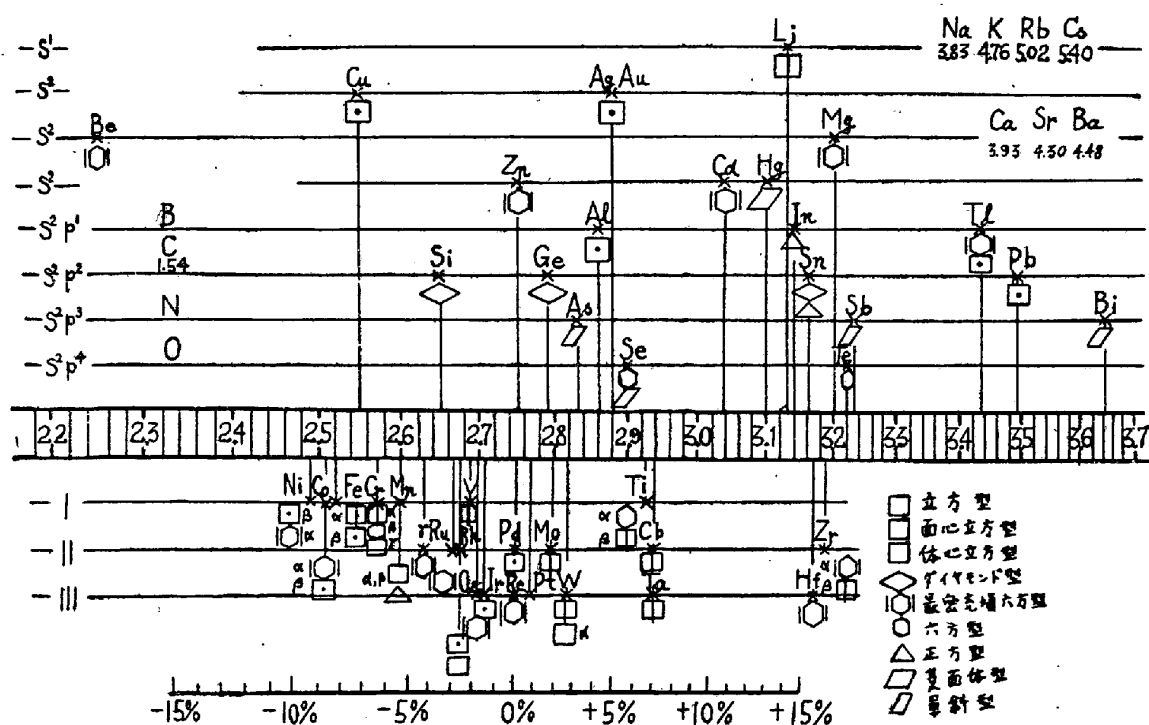
「踊り場」の生ずる原因是、組織の缺陷の周囲にある原子の再排列が起り、完全な再結晶によらなければ消失しない安定な核が生成するためである。鐵又は鋼に於いては Ac_3 點以上に燒鈍しても一般には「踊り場」を消失させることが出来ない。これは $\gamma \rightarrow \alpha$ 變態による一種の機械的加工により、歪時効した鋼と本質的に同じ様に考えられるからである。

應力の影響により鐵の中に固溶した O 又は N 原子は内部摩擦の異常を示す様に擴散する傾向を持ち、應力が不均一である程大きくなる。或る應力がかかると C と N は最も荷重のかかつた核より追出され、滑り線が最大剪斷面に沿つて現われ、次第に波及して、次から次えと擴がる。しかしこれは孤立した原子よりも遙かに安定な核に關係しているため、この核を分解するには應力の大きな不均一がなければならず、そのため塑性變形は波及しない。鋼に認められる應力一歪曲線の特異性はこれにより生ずる。もし大結晶であれば、 $\gamma \rightarrow \alpha$ 變態の張力が少なく、滑りも容易なため、第一次引張り曲線では曲線の異常は生じない。また變態を有しないモリブデン及び珪素鋼板は充分高溫に燒鈍すれば「踊り場」は消失す

る。オーステナイトより充分急速に冷却し、時効を抑えれば、踊り場は消失する。
(牧野 畿)

粉末冶金による Fe-C 合金 (J.A. Judd: "Symposium on Powder Metallurgy" Iron and Steel Inst. London, Special Rept. 38, 1947, 117~22)

粉末冶金で製造されるこの合金の狀態には次の 2 種類がある。(a) 粗鬆な製品で、容積で約 20~30% まで内部に空隙を持つているもの、(b) 細密な製品で、正常の製造法で製せられた平衡態の物質の 90% 以上の密度を持っているものである。製造法としては次の 3 種類が採用し得る。(1) 豊め合金した鋼又は鑄鐵粉末による法、(2) 純又は軟鐵粉末と黑鉛粉末を混合する法で、これにより製造中 Fe_3C を生成する、(3) 純又は軟鐵粉末と Fe_3C を含む少量の合金とを混合する方法等である。出来るだけ密度の高い製品を造るためにには、基礎的及び經濟的な考慮が成されねばならないが、このため制約される條件は壓力及び溫度で、即ち最高 50tons/in² 及び 1150°C である。高炭素鋼(超共析及び含黑鉛鋼)に對しては、Fe 粉末に Fe_3C 及び黑鉛粉末を混合する方法が優れている。と云ふのは處理溫度では Fe_3C は消滅しこのために結着性は強固になり、又物理的性質も改良されるからである。この方法による材料は航空機のピストンリング材に利用されている。この材料の彈性率は密度と殆ど直線的函數であるに反し、最終的な強度は高密度範囲で急激に増大するであろう。
(長谷川正義)



基 础

金属元素の原子直徑 P. Duwez: Metal Progress, 57—3, March, 1950, 348

合金の研究に於て、原子直徑、合金原子價、結晶形等が重要な因子であることは W. Hume-Rothery の研究以後明らかであるが、著者は之等を示す圖(前頁参照)を提出した。直徑の値は Mn 以外は Hume-Rothery の著書“金属及び合金の構造”より採つたものである。なほ L. Pauling の原子直徑に關する論文が J. Am. Chem. Soc. 69, 1947, p 542 に載つて居り之も參照した。

圖に於て、横軸に原子直徑を取り、原子の最外電子の状態を示す各横線の上に直徑値に應じ各金属元素を示した。1番上の線は1箇の s 電子を持ち、d 電子を持たぬ周期率表 I-A 屬を示す。第2の線は1箇の s 電子と飽和した d 裂を持つ I-B 屬である。第3、第4の線は前と同様に d 裂を持つものと持たぬもので、何れも2箇の s 電子を持つ II-A 及び II-B 屬である。その次の4本の線は2箇の s 電子と 1, 2, 3 及び 4 箇の p 電子をそれぞれ持つ III-B, IV-B, V-B 及び VI-B 屬を示す。原子直徑軸の下に遷移元素を3つの系に分けて示した。

圖に於て縦の配列、即ち各横線は Hume-Rothery の所謂合金の原子價を示して居り、原子價は電子の状態から直ぐ分子様になつてゐる。但し原子直徑軸の下の各遷移元素は0價である。又可動尺度と云ふのは、或る2元素間の原子直徑の差を%で表はす尺度であつて、この尺度の目盛と原子直徑軸の目盛とは特別に目盛つてあるから、之を利用すれば容易に双方の原子の相對的な大きさの割合が%で判る。なほ結晶形をも示した。

(長谷川正義)

Fe に對する各元素の溶解度の系統化 III

固溶限のある場合 I. I. Kornilov, Izvest. Akad. Nauk. S. S. R., Otdel. Khim. Nauk, 1948, 369~76

α -Fe を基とする 3, 4 及び 5 元の或る程度溶解度を持つ合金系を、Fe と各添加元素の原子直徑の差に基いて、一般的に行われている方法に従つて系統化した。Fe と各元素の2元合金状態圖に於て、固溶限は周知の

様に金属間化合物の形成によつて阻止されるが、これ等化合物の温度に對する安定度は、双方の原子直徑の差が大きい程増大する。即ち、直徑の差が 8% を越えると化合物の熔融點が高目になる。第 I 報に於て述べた様に原子直徑の差が 8~15% の範囲にある 11 元素及び C 及び B は Fe との2元合金に於て固溶限を持つているが、3 元及びそれ以上の固溶限のある合金は以上の條件の外、Cr や V が存在する場合にもその可能性があるので、その數は2元系と同じ條件により組合される數よりも更に多い。3 元合金で或る程度の固溶限を持つ系はその α -Fe 固溶體の形狀から次の3種類に分けることが出来る。(1) 濃度3角形の Fe 角に閉じた頂點を持つ固溶體を生ずる場合(78種の系にその可能性がある); (2) Fe 角に一方の開いた固溶體の生ずる場合(可能性のある系 2); (3) 3つの頂點を囲む固溶體の生ずる場合(可能性のある系 6)。又固溶限のある α 固溶體を持つ4元系も次の3系統に分けられる。(1) 濃度4面體が Fe 角に於て閉じた立體的な頂點の固溶體を持つ場合(可能性ある系 286); (2) 線の開いた固溶體を生ずる場合(可能性ある系 156); (3) 開いた面の固溶體を持つ場合(可能性ある系 13)。更に以上の各系統の状態圖の典型的な例を示してある。

(長谷川正義)

Fe に對する各元素の溶解度の系統化 IV

限定されたオーステナイト固溶體 (I. I. Kornilov; Akad. Sci., U. S. S. R., Izvest. Akad. Nauk S. S. R. Otdel. Khim. Nauk 1949, 449-59.) 3 元及び 4 元平衡状態圖中の、室温に於けるオーステナイト範囲の一般的性質を、Fe に對する各元素の相對的な原子直徑及び結晶構造に基いて豫測した。各型の例として Fe-Ni-P, Fe-Ni-Al, Fe-Ni-Cr, Fe-Ni-C-Be, Fe-Ni-Cr-C, Fe-Ni-Cr-Co, 及び Fe-Ni-Co-C 等の系を挙げた。P は α -Fe 中で 1% 以下の溶解度、又面心立方格子の金属(例へば Ni, Co)中でも限られた溶解度を持つた元素の例である。Al は Fe 中で溶解度が 1% より大きいが、これを除けば P と類似の挙動をする元素の例である。Cr(及び V)は α -Fe 中に完全に溶解し得る元素である。なお、本文には新しい實驗値は何等挙げられていない。

(長谷川正義)